

Mestrado Integrado  
Engenharia Informática

# Path Tracing

Iluminação e Visualização II

Luís Paulo Peixoto dos Santos

## Monte Carlo *ray tracing*

$$\langle L(p \rightarrow \omega_r) \rangle = L_e(p \rightarrow \omega_r) + L_d(p \rightarrow \omega_r) + \frac{\pi}{N} \sum_{i=1}^N f_r(p, \omega_i \leftrightarrow \omega_r) L(p \leftarrow \omega_i)$$

$\langle L(p \rightarrow \omega_r) \rangle$       Radiância reflectida por  $p$  na direcção  $\omega_r$

$L_e(p \rightarrow \omega_r)$       Radiância auto-emitida por  $p$  na direcção  $\omega_r$

$L_d(p \rightarrow \omega_r)$       Radiância reflectida por  $p$  na direcção  $\omega_r$  devida a iluminação directa

$$L_{ind}(p \rightarrow \omega_r) = \frac{\pi}{N} \sum_{i=1}^N f_r(p, \omega_i \leftrightarrow \omega_r) L(p \leftarrow \omega_i)$$

Radiância reflectida por  $p$  na direcção  $\omega_r$  devida a iluminação indirecta;  
Seleccção dos  $\omega_i$  pesada pelo co-seno.

## Monte Carlo *ray tracing*

- A amostragem segue uma pdf  $p(\omega_i) = \cos(\theta_i)/\pi$  obtendo-se

$$L_{ind}(p \rightarrow \omega_r) = \frac{\pi}{N} \sum_{i=1}^N f_r(p, \omega_i \leftrightarrow \omega_r) L(p \leftarrow \omega_i)$$

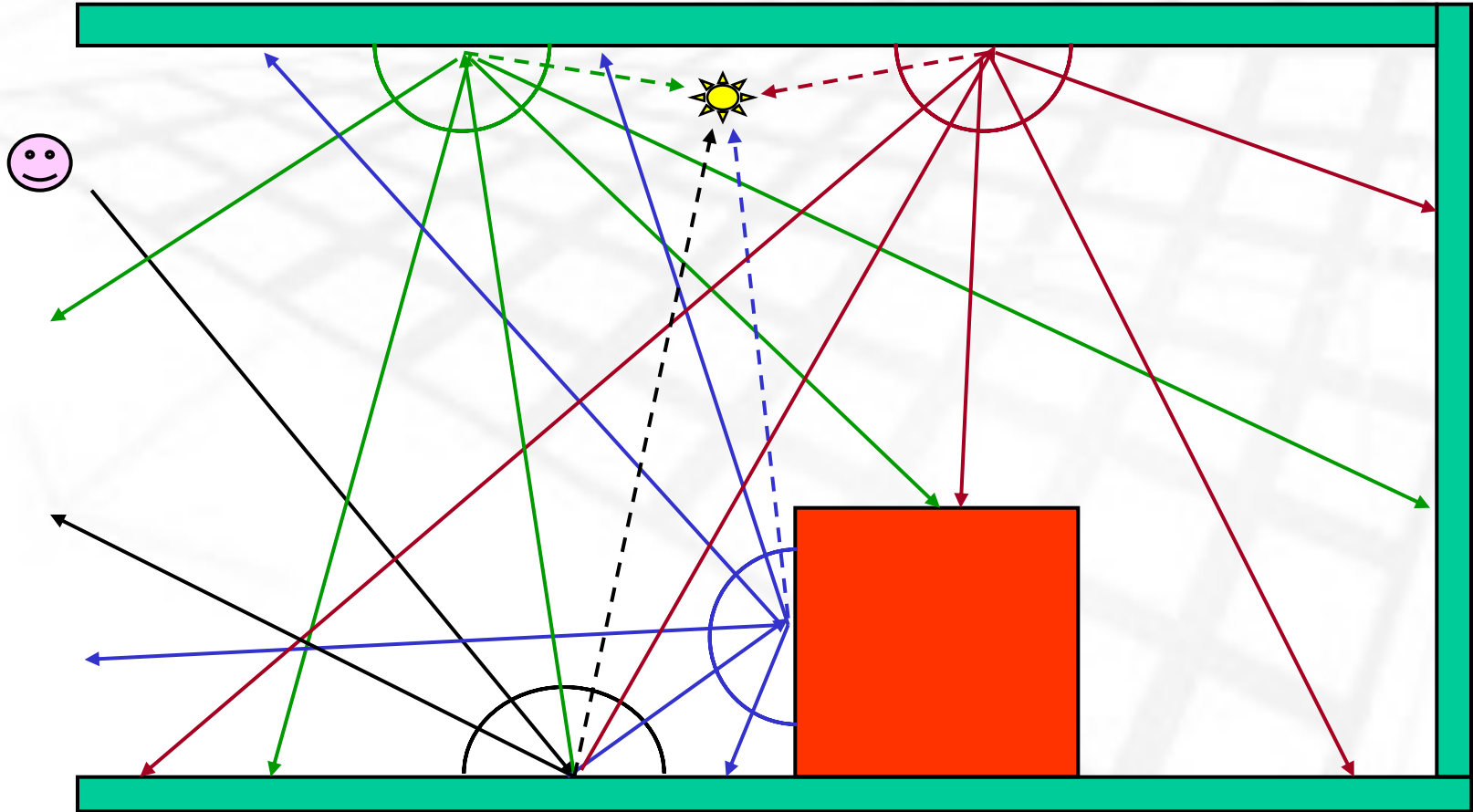
- Note que 
$$L_{ind}(p \rightarrow \omega_r) = \frac{2\pi}{N} \sum_{i=1}^N f_r(p, \omega_i \leftrightarrow \omega_r) L(p \leftarrow \omega_i) \cos(\theta_i)$$

corresponde a amostragem uniforme da semiesfera com  $p(\omega_i) = 1/2\pi$

- No caso geral

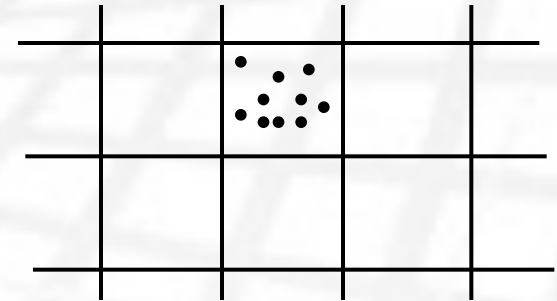
$$L_{ind}(p \rightarrow \omega_r) = \frac{1}{N} \sum_{i=1}^N \frac{f_r(p, \omega_i \leftrightarrow \omega_r) L(p \leftarrow \omega_i) \cos(\theta_i)}{p(\omega_i)}$$

# Monte Carlo *ray tracing*

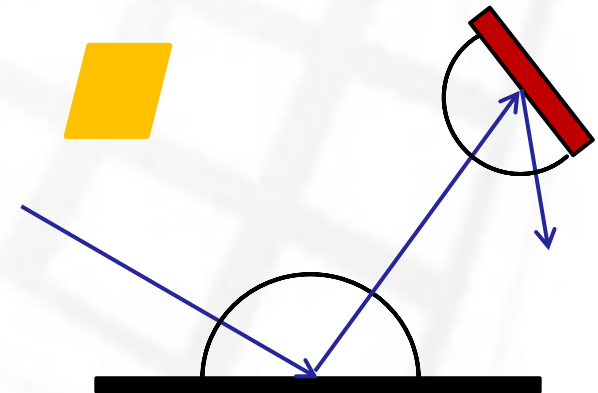


## Monte Carlo *path tracing*

- Para cada pixel gerar N raios primários cujas direcções são seleccionadas estocasticamente sobre a área do pixel
- O valor do pixel resulta da integração de Monte Carlo dos vários *paths*
- Quando um raio intersecta um objecto:
  - Seleccionar estocasticamente uma única direcção de amostragem na semi-esfera
  - Continuar este procedimento gerando um *path*

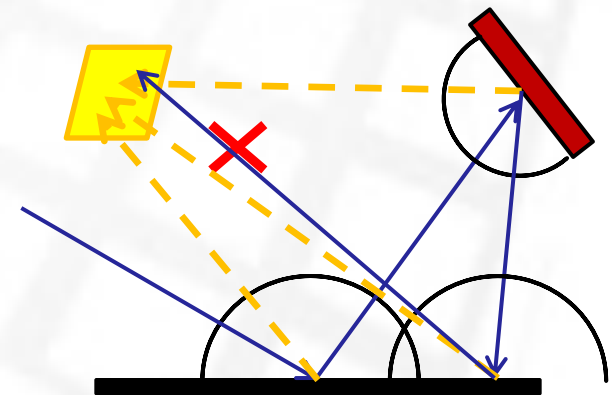


$$L_{pixel} = \frac{1}{N} \sum_{i=0}^{N-1} \frac{L_{point\ in\ pixel_i}}{p(point\ in\ pixel_i)}$$

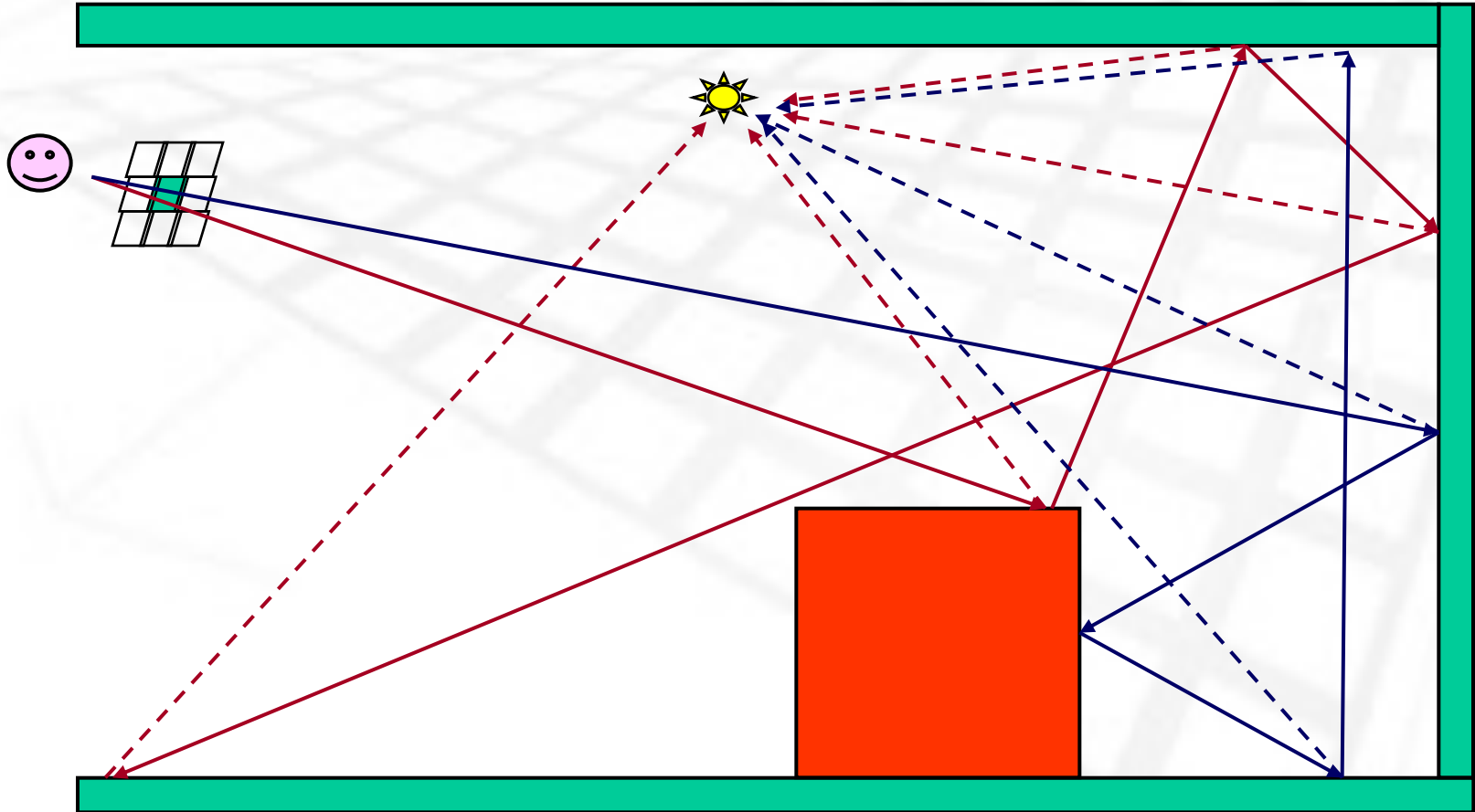


## Monte Carlo *path tracing*

- Na descrição anterior um *path* só tem contribuição diferente de zero se intersectar uma fonte de luz.
- Para **aumentar a convergência** o cálculo da iluminação **directa** pode ser **separado** do cálculo da iluminação **indirecta**, disparando *shadow rays* explicitamente na direcção das fontes de luz
- Quando um raio intersecta um objecto:
  - Disparar *shadow rays* para calcular a iluminação directa
  - Seleccionar estocasticamente uma única direcção de amostragem na semi-esfera
- Se o *path* intersectar uma fonte de luz terminar, pois a iluminação directa já foi calculada



# Monte Carlo *path tracing*



## Monte Carlo *path tracing*

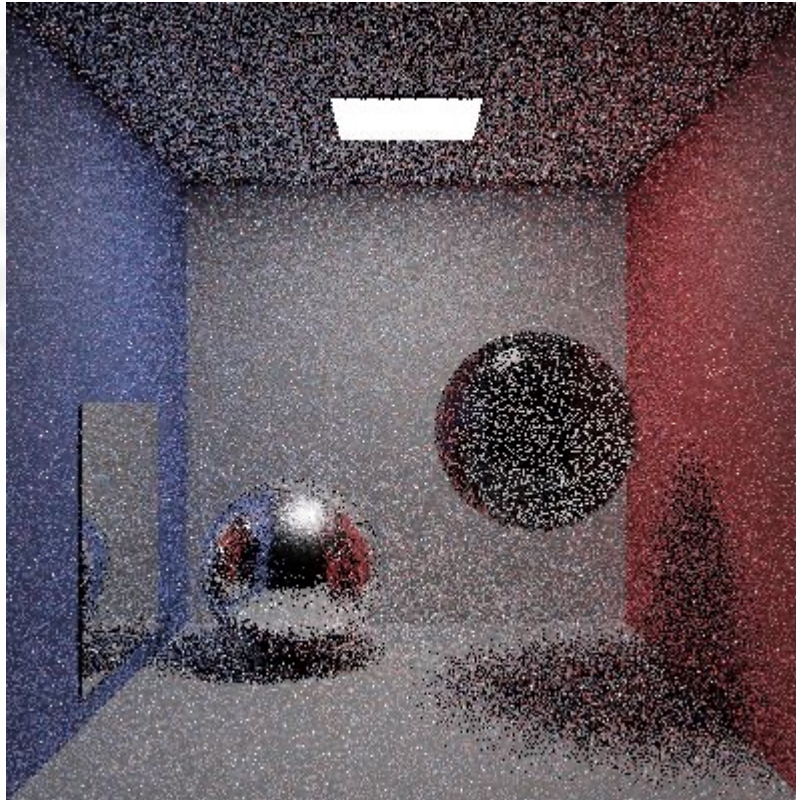
```
for each pixel p on the image plane {
    rad[p]=0
    for (i=0 ; i<N ; i++)
        ray = select_dir_stochastically (p, pdf, &prob_this_dir)
        rad[p] += path_trace (ray, 0) / prob_this_dir
    rad[p] /= N;
}

path_trace (ray, depth) {
    point = intersect (ray, scene)
    rad = direct_lighting (point)    // trace shadow rays
    if (depth < MAX_DEPTH)
        sec_ray = select_dir_stochastically (p, pdf, &prob)
        rad += BRDF * path_trace (sec_ray, depth++) * cos( $\theta$ ) / prob
    return (rad)
}
```



## Integração de Monte Carlo : Variância

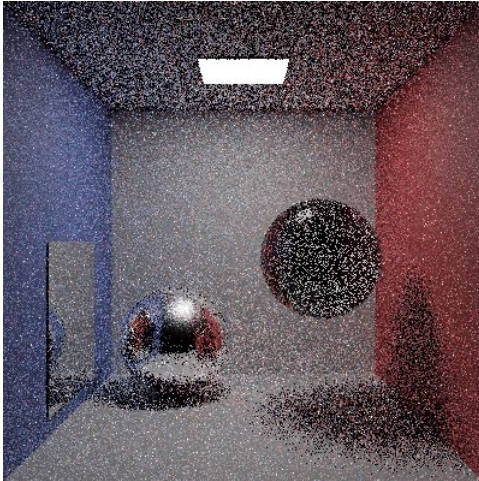
- O processo estocástico introduz variância, percebida como ruído



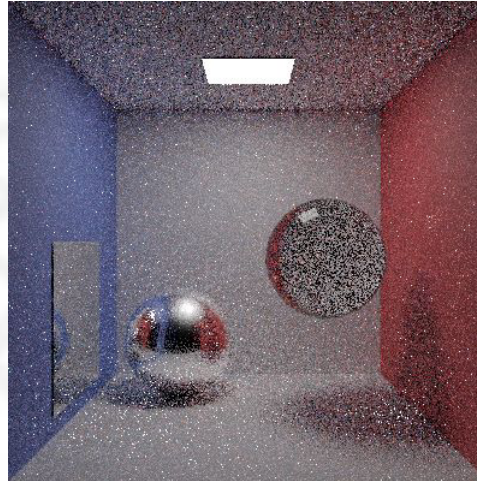
Cornell box  
Path Tracing (48 cores)  
1spp; 0.1 seg

- A variância varia com  $1/N$ , o desvio padrão com  $1/N^2$
- Para reduzir o ruído a metade, precisamos de 4 vezes mais amostras ( $N*4$ )

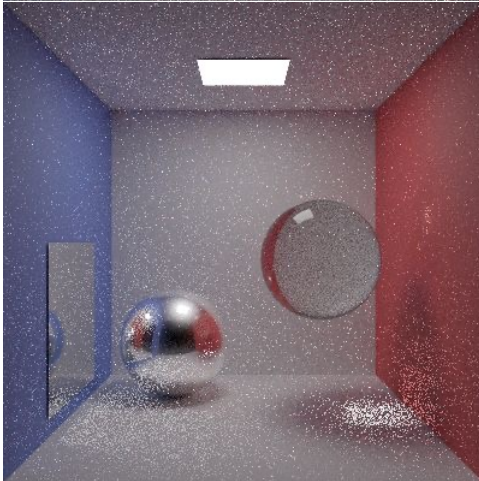
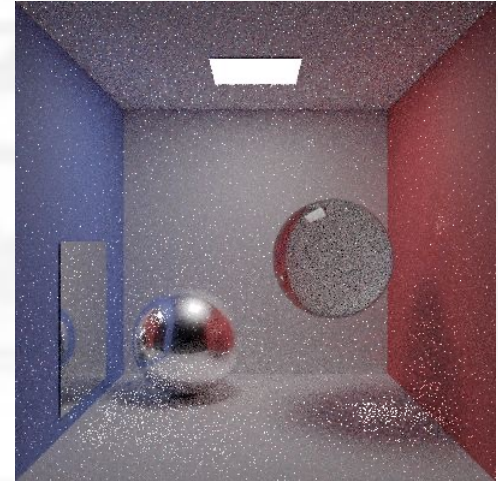
1 spp ; 0.1 seg



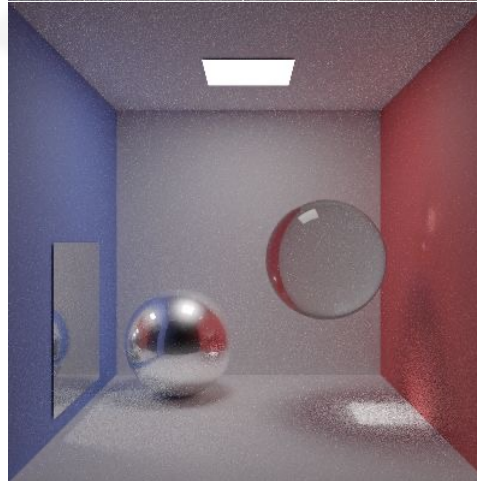
4 spp ; 0.3 seg



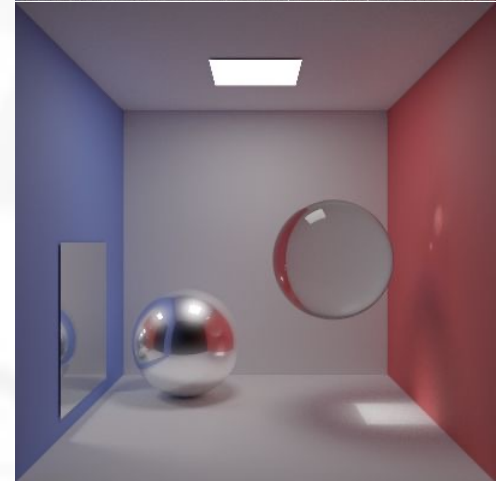
16 spp ; 1.1 seg



64 spp ; 4.5 seg



1024 spp ; 1m 14 seg



65536 spp ; 1h 17 m



## Monte Carlo: bias

- Quando parar a emissão de raios secundários (*path length*)?
  - Usar uma profundidade máxima fixa
  - Quando a contribuição esperada de um raio é inferior a um dado limite
- Estes são métodos determinísticos que afectam o valor do integral (*bias*)!

<i>not biased</i>	<i>biased</i>
$\lim_{N \rightarrow \infty} \langle I \rangle = I$	$\lim_{N \rightarrow \infty} \langle I \rangle = I + \varepsilon$

## Monte Carlo: roleta russa

- Definir a probabilidade  $p_{cont}$  de continuar a travessia (disparar um raio secundário)
- Antes de disparar um raio gerar um número aleatório,  $\xi$ , uniformemente distribuído em  $[0, 1[$
- Se  $\xi \leq p_{cont}$  então disparar o raio
- Se  $\xi > p_{cont}$  então não disparar o raio
- Uma vez que há uma probabilidade de não disparar um raio, a contribuição dos raios disparados deve ser multiplicada por  $1/p_{cont}$ , para compensar aqueles que não são disparados

$$L(p \leftarrow \Psi) \approx \frac{1}{p_{cont}} (\xi \leq \alpha ? 0 : L(p \leftarrow \Psi_i))$$

## Monte Carlo: roleta russa

```
for each pixel p on the image plane {
    i=0
    for (i=0 ; i<N ; i++)
        ray = select_dir_stochastically (p, pdf, &prob)
        rad[p] += path_trace (ray) / prob
    rad[p] /= N;
}

path_trace (ray) {
    point = intersect (ray, scene)
    rad = direct_lighting (point)    // trace shadow rays
    if ( $\xi$  <= p_cont)
        sec_ray = select_dir_stochastically (p, pdf, &prob)
        rad_incident = path_trace (sec_ray) / ( prob * p_cont)
        rad += BRDF * rad_incident * cos( $\theta$ )
    return (rad)
}
```

$$\langle L(p \rightarrow \omega_r) \rangle = L_e(p \rightarrow \omega_r) + L_d(p \rightarrow \omega_r) + L_{ind}(p \rightarrow \omega_r)$$

$\langle L(p \rightarrow \omega_r) \rangle$       Radiância reflectida por  $p$  na direcção  $\omega_r$

$L_e(p \rightarrow \omega_r)$       Radiância auto-emitida por  $p$  na direcção  $\omega_r$

$L_d(p \rightarrow \omega_r)$       Radiância reflectida por  $p$  na direcção  $\omega_r$   
devida a iluminação directa

$L_{ind}(p \rightarrow \omega_r)$       Radiância reflectida por  $p$  na direcção  $\omega_r$   
devida a iluminação indirecta

## Monte Carlo: iluminação directa

$$L_d(p \rightarrow \omega_r) = \int_{\Omega_d} f_r(p, \omega_r, \omega_i) L_d(p \leftarrow \omega_i) \cos \theta_i d\omega_i$$

- Nota: apenas são consideradas contribuições que tenham origem directamente nas fontes de luz (NOTAR  $\Omega_d$ )

**Abordagem 1** – Iterar sobre **todas as fontes de luz** e tirar  $N_{Li}$  amostras de cada:

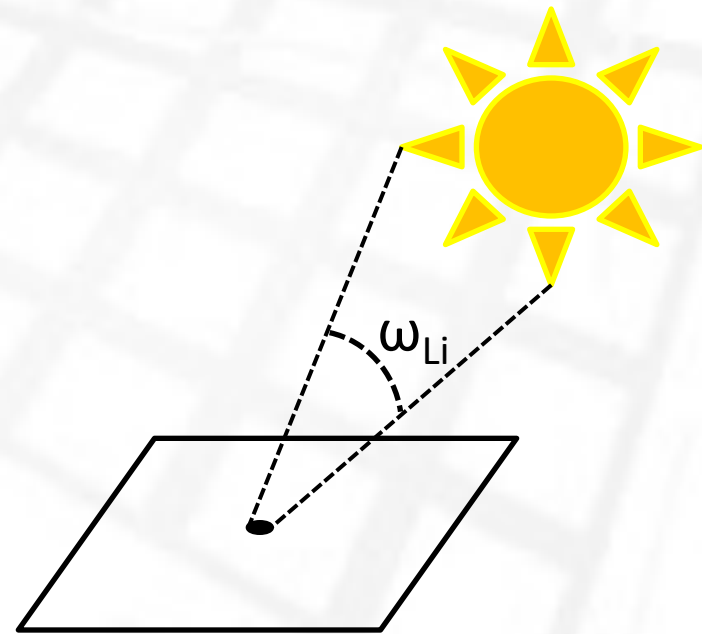
$$L_d(p \rightarrow \omega_r) = \sum_{l=1}^{Nlights} \int_{\Omega_d(l)} f_r(p, \omega_r, \omega_i) L_{d(l)}(p \leftarrow \omega_i) \cos \theta_i d\omega_i, \quad \Omega_d = \bigcup_{l=1}^{Nlights} \Omega_{d(l)}$$

$$L_d(p \rightarrow \omega_r) \approx \sum_{l=1}^{Nlights} \frac{1}{N_{Li}} \sum_{i=1}^{N_{Li}} \frac{f_r(p, \omega_r, \omega_i) L_{d(l)}(p \leftarrow \omega_i) \cos \theta_i}{p(\omega_i)}$$

## Monte Carlo: iluminação directa

$$L_d(p \rightarrow \omega_r) \approx \sum_{l=1}^{N_{lights}} \frac{1}{N_{Li}} \sum_{i=1}^{N_{Li}} \frac{f_r(p, \omega_r, \omega_i) L_{d(l)}(p \leftarrow \omega_i) \cos \theta_i}{p(\omega_i)}$$

- A selecção das amostras  $\omega_i$  pode ser feita usando **distribuição uniforme** ou **estratificada** ou amostragem por **importância** sobre o **ângulo sólido** definido pela fonte de luz,  $\omega_{Li}$





## Monte Carlo: iluminação directa

$$L_d(p \rightarrow \omega_r) = \int_{\Omega_d} f_r(p, \omega_r, \omega_i) L_d(p \leftarrow \omega_i) \cos \theta_i d\omega_i$$

**Abordagem 2 – Seleccionar** com probabilidade  $p_i = 1/N_{\text{lights}}$  **uma fonte de luz e** amostrar apenas essa.

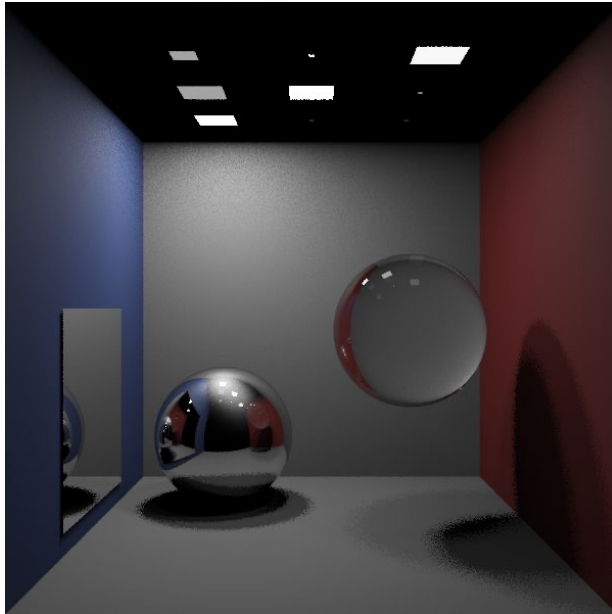
A sua contribuição é, obviamente, dividida pela sua probabilidade:

$$L_d(p \rightarrow \omega_r) \approx \frac{f_r(p, \omega_r, \omega_i) L_{d(l)}(p \leftarrow \omega_i) \cos \theta_i}{1/N_{\text{Lights}} * p(\omega_i)}$$

$$L_d(p \rightarrow \omega_r) \approx \frac{N_{\text{Lights}} * f_r(p, \omega_r, \omega_i) L_{d(l)}(p \leftarrow \omega_i) \cos \theta_i}{p(\omega_i)}$$

Em vez de seleccionar a fonte de luz com probabilidade uniforme podem-se usar outras distribuições. Exemplos: potência, área, distância, ...

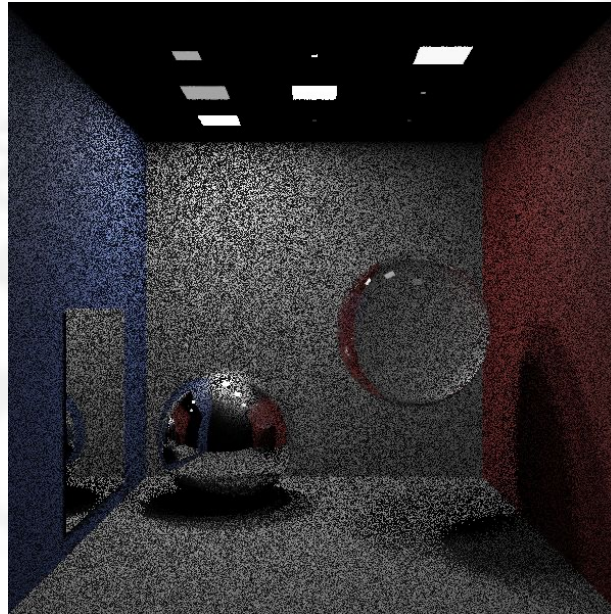
## Monte Carlo: iluminação directa



8 spp, 1 spl

Todas as fontes de luz são amostradas (1 raio cada; spl=1)

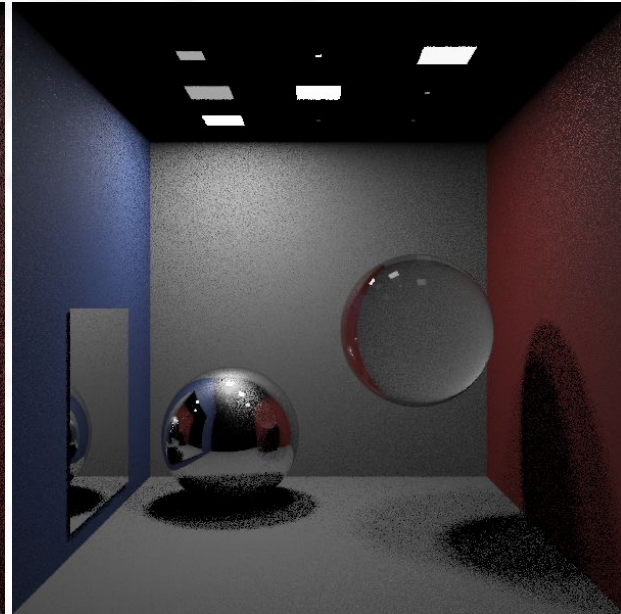
$T = 8 \text{ sec}$



8 spp, 1/9 spl

1 fonte de luz seleccionada com distribuição uniforme

$T = 4 \text{ sec}$



8 spp, 1/9 spl

1 fonte de luz seleccionada segundo a sua potência relativa

$T = 4 \text{ sec}$

## Monte Carlo: iluminação indirecta

$$L_{ind}(p \rightarrow \omega_r) = \int_{\Omega} f_r(p, \omega_r, \omega_i) L_d(p \leftarrow \omega_i) \cos \theta_i d\omega_i$$

- Nota: apenas são consideradas contribuições que **não** tenham origem directamente nas fontes de luz.

$$L_{ind}(p \rightarrow \omega_r) \approx \frac{1}{N} \sum_{i=1}^N \frac{f_r(p, \omega_r, \omega_i) L_{ind}(p \leftarrow \omega_i) \cos \theta_i}{p(\omega_i)}$$

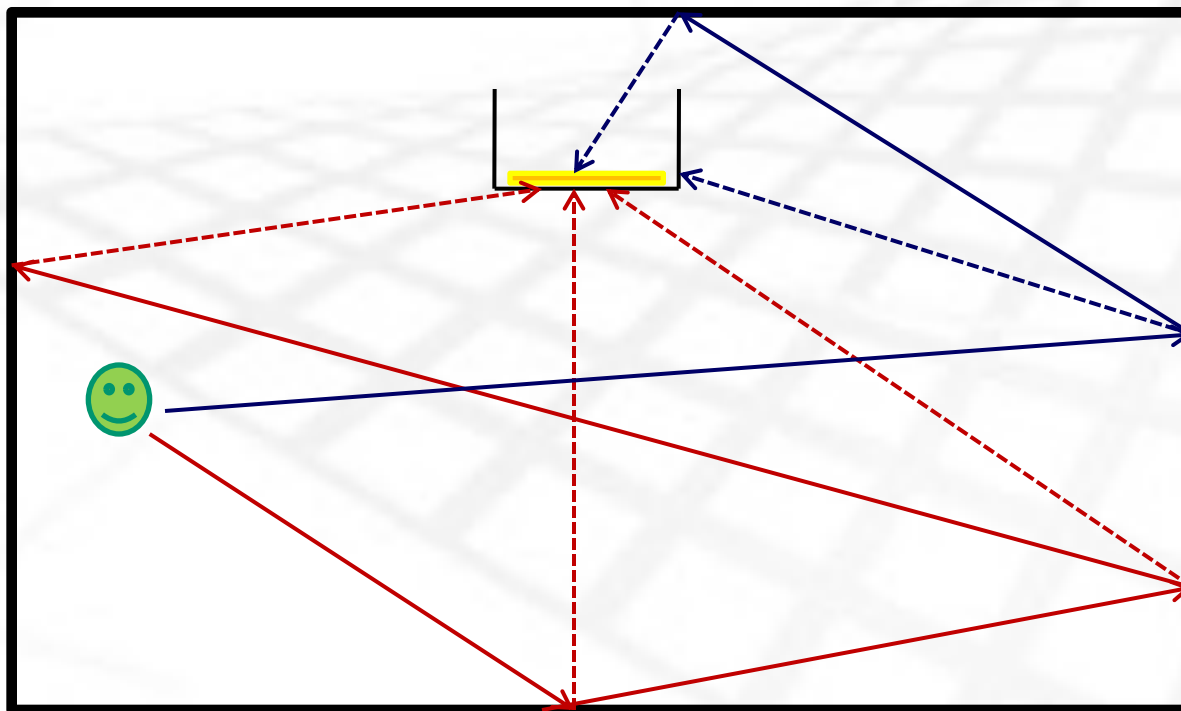
- A selecção de quais as direcções da semi-esfera a amostrar é vulgarmente baseada em:
  - Amostragem estratificada
  - Amostragem por importância baseada na distribuição do cosseno
  - Amostragem por importância baseada na forma da BRDF
    - Neste caso é necessário derivar uma distribuição da probabilidade que tenha uma forma semelhante à da BRDF

## Monte Carlo: iluminação indirecta

$$L_{ind}(p \rightarrow \omega_r) = \int_{\Omega} f_r(p, \omega_r, \omega_i) L_d(p \leftarrow \omega_i) \cos \theta_i d\omega_i$$

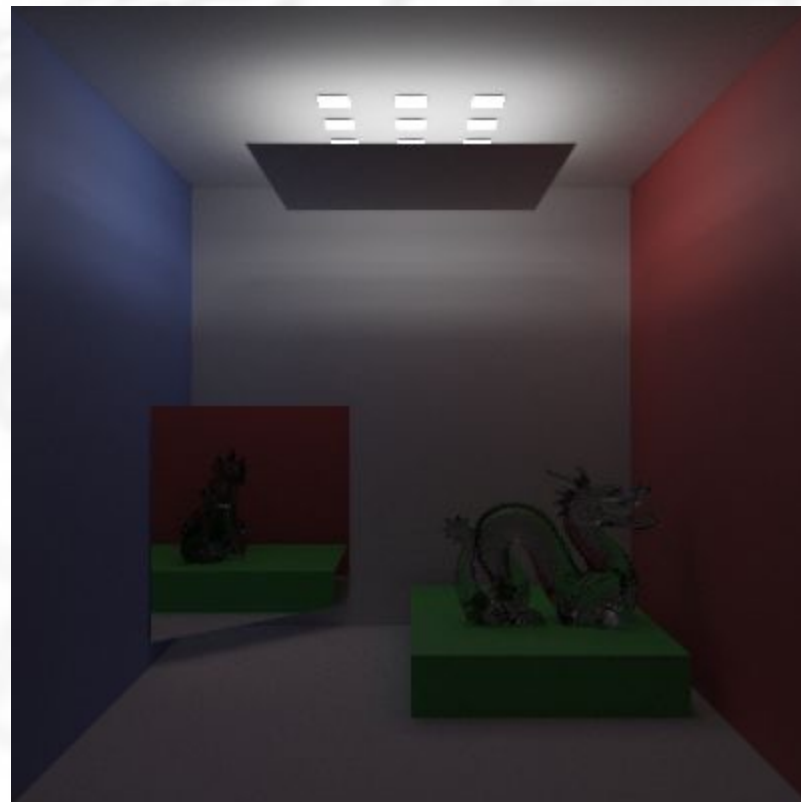
- A BRDF é frequentemente constituída por múltiplos componentes. Ex., Phong:  
 $K_d$  – indirecta difusa; o seu domínio é a semi-esfera;  
 $K_s$  – reflexão especular; domínio é a direcção de reflexão especular;  
 $K_t$  – transmissão especular; domínio é a direcção de transmissão especular;
- Em vez de amostrar explicitamente estas 3 componentes (com 3 raios que gerarão novas árvores), um *path tracer*:
  - Selecciona com probabilidade  $p_{compBRDF}$  apenas um destes componentes;
  - Avalia apenas este componente, i.e., dispara um raio apenas de acordo com as regras associadas aquele componente da BRDF;
  - Divide a radiância calculada por  $p_{compBRDF}$ .

## *Path Tracing: limitações*



- Para algumas condições de iluminação a maioria dos trajectos gerados **NUNCA** encontram as fontes de luz: a sua contribuição será **ZERO**
- Os poucos trajectos que encontram a fonte de luz são os únicos que contribuem para o valor do pixel, resultando em grande variância (ruído)

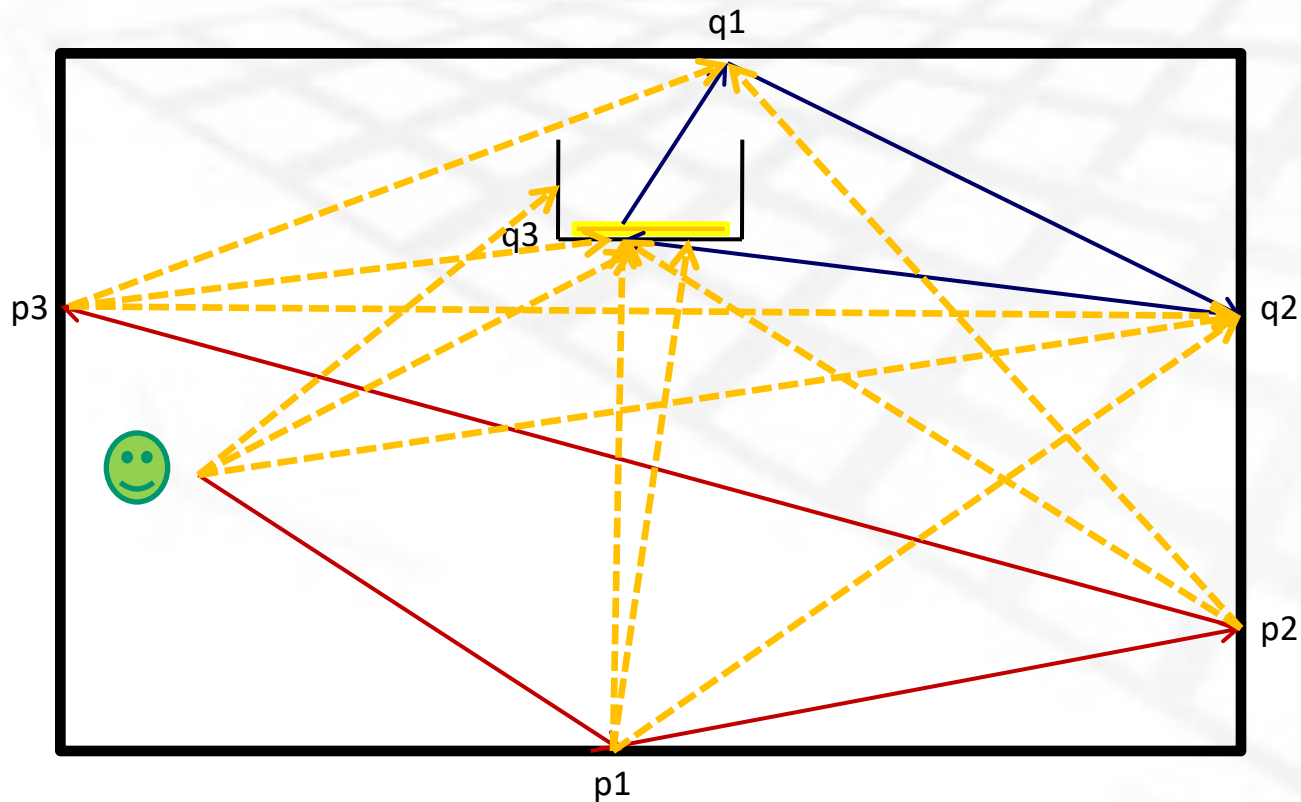
## *Path Tracing*: limitações



Qual destas cenas exige menos “esforço computacional” ao *path tracer*?



## *BiDirectional Path Tracing*



1. Gerar caminho a partir do observador
2. Gerar caminho a partir da fonte de luz
3. Unir os 2 caminhos
4. e pesar a contribuição de cada  $q_i$  para cada  $p_i$